

UNIVERSIDAD NACIONAL AUTONOMA DE MEXICO
FACULTAD DE QUIMICA

OBTENCION FOTOQUIMICA DE UN NUEVO
HOMOLOGO DE LA PROGESTENONA

"16 α .17 α .(2'.1'.PROPENO)-PROGESTERONA"

T E S I S

QUE PARA OBTENER EL TITULO DE
Q U I M I C O
P R E S E N T A

LIDIA MARICELA MINERO RUESGA

1967



UNAM – Dirección General de Bibliotecas

Tesis Digitales
Restricciones de uso

DERECHOS RESERVADOS ©
PROHIBIDA SU REPRODUCCIÓN TOTAL O PARCIAL

Todo el material contenido en esta tesis está protegido por la Ley Federal del Derecho de Autor (LFDA) de los Estados Unidos Mexicanos (Méjico).

El uso de imágenes, fragmentos de videos, y demás material que sea objeto de protección de los derechos de autor, será exclusivamente para fines educativos e informativos y deberá citar la fuente donde la obtuvo mencionando el autor o autores. Cualquier uso distinto como el lucro, reproducción, edición o modificación, será perseguido y sancionado por el respectivo titular de los Derechos de Autor.

JURADO ASIGNADO

Presidente.- DR. FRANCISCO GIRAL G.

Vocal.- DR. JOSE LUIS MATEOS G.

Secretario.- DR. PIERRE CRABBE.

1er. Supl.- QUIM. GUADALUPE MERCADO R.

2do. Supl.- QUIM. GLORIA PEREZ C.

SITIO DONDE SE DESARROLLO
EL TEMA:

Este trabajo fue realizado en los
Laboratorios de Investigación de
Syntex S.A. situdo en el número
2822 Calle Carretera Méjico-Tolu-
ca. Telf. 70-33-33.

SUSTENTANTE; LIDIA MARICELA MINERO RUESGA. Minesga R.

ASESOR: DR. PIERRE CRABBE. _____

A mis padres como un hu—
milde homenaje a sus esfuer—
zos cariñosos por formarme.

**AGRADEZCO AL DR. PIERRE CRASBE
Y AL DR. JOSE IRIARTE, SU VA--
LIOSA DIRECCION PARA LA REALI-
ZACION DE ESTA TESIS.**

OBTENCION FOTOQUIMICA DE UN NUEVO HOMOLOGO DE LA PROGESTERONA.

I.- INTRODUCCION.

II.- RESULTADOS.

III.- DISCUSION.

a) Generalidades.

b) Análisis e interpretación de resultados con el fin de aclarar la estructura y configuración de la --
16<-,17<-(2°,1° - propeno)- progesterna; y de --
los compuestos intermedios utilizados en su sínte-
sis.

c) Mecanismos de reacción más probables.

IV.- PARTE EXPERIMENTAL.

V.- CONCLUSIONES.

VI.- BIBLIOGRAFIA.

- - - - -

INTRODUCCION.

La investigación de nuevos productos farmacéuticos con propiedades mejoradas, requiere de estudios químicos previos, indispensables para su preparación, que además de su aspecto aplicado en la industria farmacéutica y práctica médica, presentan también una orientación académica por el carácter fundamental de los problemas que tratan.

Trata ésta tesis principalmente de la obtención de un nuevo tipo de hormona pregestacional, la 16 α ,17 α -(2',1' - propeno)-pregesteron. En el transcurso de la síntesis de este compuesto, se estudiaron las propiedades analíticas, espectrométricas, polarimétricas, etc., en que se basa la estructura asignada a los compuestos intermedios preparados y la del compuesto final. Se discuten las constantes de los productos y sus interrelaciones químicas y se presentan los mecanismos más probables de su formación.

Se estudió además el comportamiento seguido por sistemas conjugados similares en otras reacciones de adición, en particular, la adición nucleofílica del ion metilato a cetonas α , β -no saturadas en pregnanos y estranos.

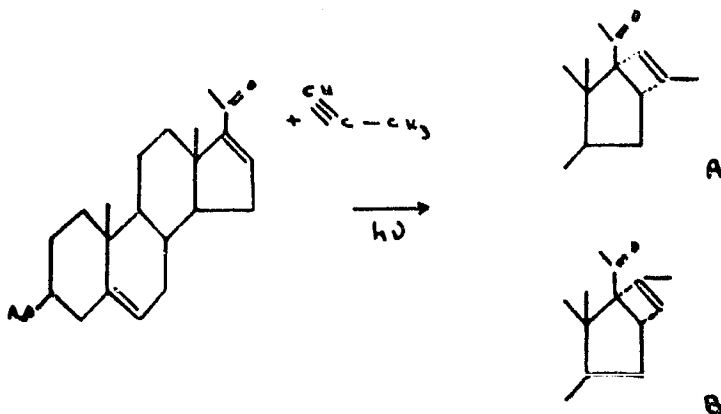
RESULTADOS.

A.- Adición fotoquímica de metilacetileno a Δ^{16} -20-cetonas esteroideas.

Como resultado de la cicloadición fotoquímica de propino sobre el acetato de pregn-3,16-dien-3 β - el -20- ena (I) y de una serie de reacciones subsecuentes, se llegó a la obtención de un nuevo homólogos de la progesterona (V). Homólogos de este tipo presentan perspectivas interesantes en el campo de la medicina y de la bioquímica, ya que las propiedades potenciales de estos compuestos, en general, muestran variaciones que favorecen una versatilidad muy grande en su utilización.

El compuesto sintetizado presenta, de por sí, un gran interés químico pues tiene varias posibilidades de reacción por la estructura del nuevo substituyente.

Las reacciones efectuadas para la preparación de la 16 α ,17 α ,-(2 β ,1 β - propeno)-progesterona - (V) se resumen en los siguientes pasos de los cuales el más importante es el fotoquímico o primer paso:



De las dos posibilidades de reacción indicadas anteriormente, la primera (A) se ve favorecida y el producto correspondiente se forma casi exclusivamente. De hecho en nuestros experimentos, de tipo preliminar, sólamente obtenemos este isómero. Pero la posibilidad teórica de formación de B no está excluida. La reacción sin embargo, tendría lugar en proporción mucho menor, pociencia teórica que encuentra correspondencia en el resultado ya descrito.

El siguiente paso consiste en una hidrólisis alcalina con el propósito de obtener el alcohol libre en C-3. En una tercera reacción se realiza la oxidación controlada del grupo hidroxilo a la correspondiente cetona en C-3. En la etapa final un tratamiento alcalino induce la conjugación del sistema carbonílico α - β -no saturado y completa así la estructura funcional básica de progesterona en el nuevo compuesto.

B.- Adiciones nucleofílicas a cetonas esteroidales α - β - no saturadas.

1). Adición de metanol.- En este trabajo se reportan dos ejemplos de adición de este tipo. En la primera, se trató el diacetato de β , -21- dihidroxi - pregn -3,16- dien -20- ona (VIII), obtenido mediante una serie de pasos¹², con metanol en presencia de hidróxido de potasio y se obtuvo un compuesto metoxilado en C-16 (IX). Análogamente por tratamiento de éter metílico de 15- dehidroestrona (XII) con metanol en medio alcalino, se obtuvo el correspondiente compuesto metoxilado en C-15 (XIII).

2). Formación de un epítido.- Al tratar el éter metílico de

18 - dehidro - 14(3 - estreno (XIV) con metanol acuoso en medio alcalino, se formó un puente epoxidico insertado entre los átomos - de carbene C-16 y C-16.

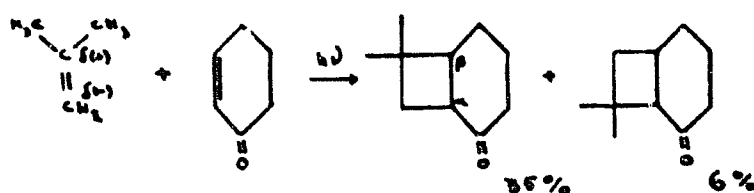
DISCUSIÓN.

GENERALIDADES.

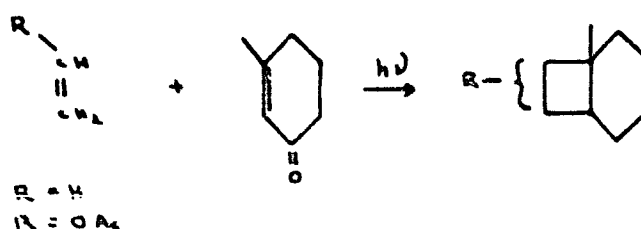
Entre los antecedentes de reacciones inducidas por irradiación en un sistema cetónico α , β - no saturado, nos parece conveniente mencionar en seguida aquéllas en que se origina un nuevo ciclo, por ser análogas a la ciclendición fotoquímica del producto intermedio fundamental requerido para la síntesis del hemólulo de la progesterona reportada como objetivo principal de esta tesis.

Reacciones de ciclendición fotoquímica intermolecular:

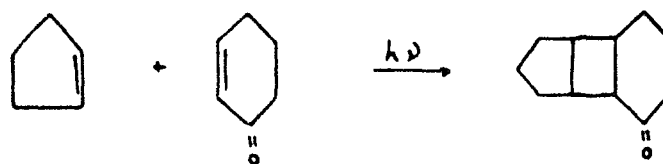
a).- Adición de alquenos a sistemas cetónicos α , β - no saturados^{8,10}.



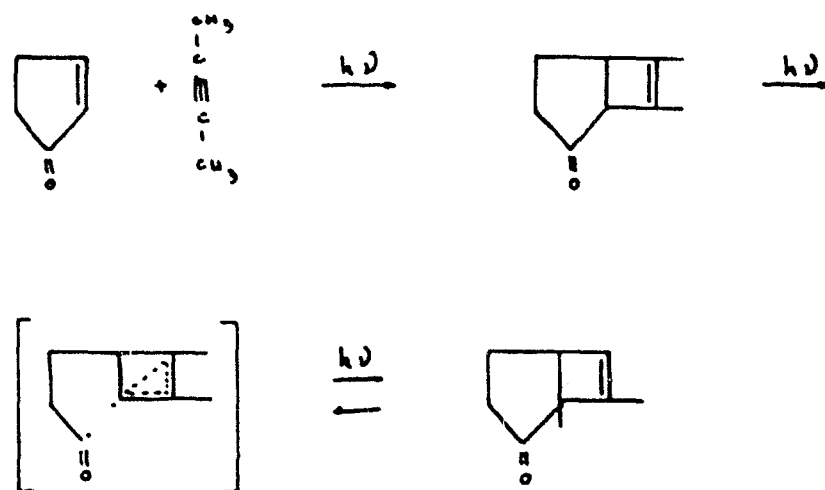
b).- Adición fotoquímica de alquenes en ciclohexanonas sustituidas¹¹.



a).- Adición de cicloclefinas a sistemas cetónicos α, β - no saturados¹⁰.

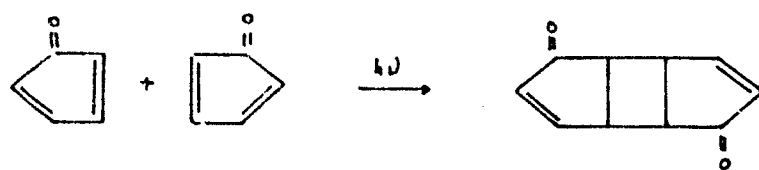


b).- Reacciones de fotocondensación entre alquinos y cetonas α, β - no saturadas².

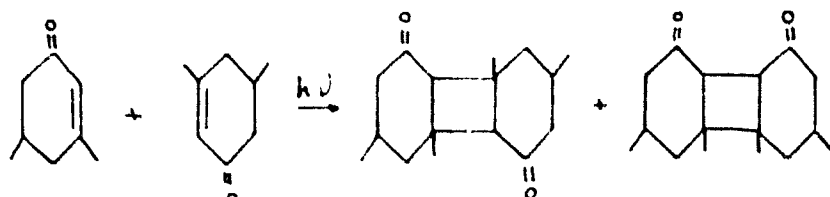


Se encuentran en la literatura reportadas otras tipos de reacciones fotoquímicas realizadas entre dos ciclos que contienen el sistema cetonas α,β - no saturadas, este tipo de reacciones es más conocido.

a).- Reacción de formación de ciclebutenes por - inducción de la luz³.

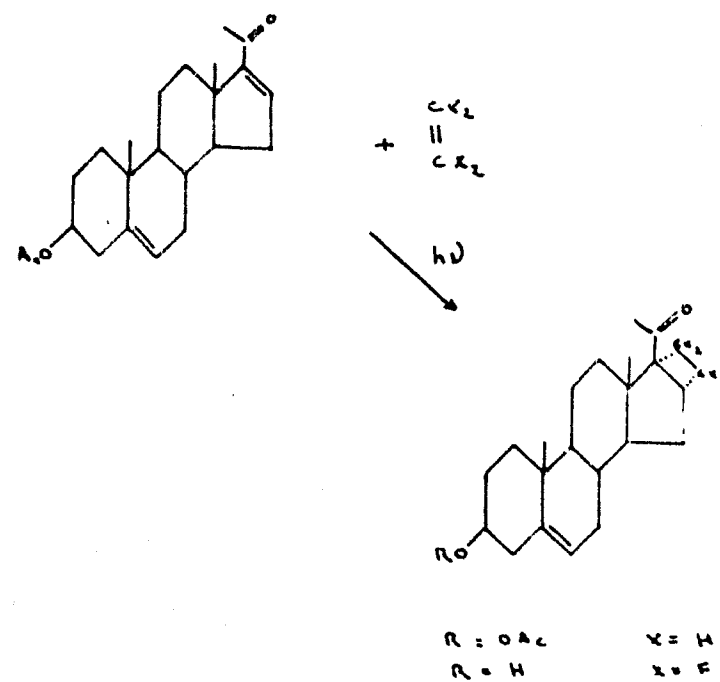


b).- Formación fotoquímica de un ciclebuteno entre ciclohexanones que contienen el sistema cetonas α,β - no saturadas⁷.



Recientemente se llevaron a cabo irradiaciones con esteroides de la serie pregnacetonil y con etileno para formar por cicloadición variantes de estos compuestos, que en la época actual encuentran gran número de aplicaciones. Del trabajo reportado por

John H. Fried¹ se encaren los siguientes ejemplos:



ANALISIS E INTERPRETACION DE RESULTADOS.

A continuación subrayaremos los datos más sobresalientes en que se basan las asignaciones de estructura y configuración de cada una de las nuevas substancias preparadas y reportadas en este trabajo.

La interpretación que se indica sobre las constantes físicas de los compuestos descritos, considerada conjuntamente con los datos reportados en la literatura relativos a los grupos funcionales correspondientes y la concordancia de los valores teórico y práctico del análisis elemental, establecen la estructura y estereoquímica particulares de nuestros compuestos.

Para la interpretación de los espectros de resonancia magnética nuclear, efectuados sobre cada uno de los nuevos fármacos preparados, se tienen en cuenta la multiplicidad de la señal, las intensidades relativas de un mismo multiplete, el desplazamiento químico esperado, así como el inducido por efectos de tipo diamagnético o paramagnético y la medida de la constante de acoplamiento.

En la obtención del acetato de β - hidroxi -16 α ,17 α - -- (2',1' - propeno) - pregn - 5 - en - 20 - ena (II) se comprobó que se había adicionado el propeno sobre el sistema de cetona α , β - - se saturado, en primer lugar porque la absorción característica de este último grupo en la región ultravioleta había desaparecido, apareciendo en su lugar un pequeño máxime de absorción entre 260 y 292 nm, correspondiente a la cetona saturada en 1 - 20. -- Sin embargo presenta una intensidad anormalmente grande ($\log \epsilon$ 2.22) lo cual indica que se encuentra en relación de homeoconjugación

ción (posición β , γ - con relación al carbonilo) a la cetona. - Esto demuestra la presencia de la débil ligadura existente entre los átomos de carbono C-1' y C-2' formadores del nuevo círculo tetraatómico.

La determinación del espectro de resonancia magnética nuclear de este fármaco, proporcionó una señal de frecuencia a 354 c/s, debida al protón en C-1'; a 325 c/s aparecen las señales correspondientes a los protones en C-6; a 280 y 306 c/s tenemos las señales correspondientes a las interacciones de los protones en C-3; a 193 c/s se tiene la señal del protón en C-13; a 120 c/s se tienen las señales correspondientes a los protones en C-21; a 120,5 c/s se tienen las señales de los protones correspondientes a las interacciones entre el fenacetato con los protones en el átomo de carbono C-3; a 61,3 c/s aparecen las señales correspondientes a los protones en C-19 y a 41,5 c/s tenemos las señales debidas a los protones en C-15.

Para la 3 β - hidroxi - 16 α ,17 α -(2',1' - propeno)- proga -5- en -20- una (III) se demostró la existencia de la función alcohol libre (en C-3 β), por medio de la aparición de una banda característica de este grupo a 3400 cm⁻¹ en espectro infrarrojo.

En la resonancia magnética nuclear apareció una señal a 103 c/s debida a los protones del metilo alílico que se encuentra como substituyente en el átomo de carbono C-2'; otra señal importante en la comprobación estructural del compuesto es la que corresponde al hidróxilo en C-3 y que se registró a 102 c/s.

La 16 α ,17 α -(1',2' - propeno)- proga -5- en -3, 20- dieno

(IV) obtenida por oxidación del hidroxí-esteroide libre III; presentó todas las señales características ya antes mencionadas; correspondientes a los grupos comunes. Por espectro infrarrojo aparece una banda a 1720 cm^{-1} , que nos comprueba la oxidación del grupo hidroxilo en C-3 ya que esta banda es característica de cetonas. La estructura de $\Delta^3\text{-}3\text{-cetona } (\beta\text{-})$ - no saturada) se comprendió por medio del espectro ultravioleta, en el cual no apareció el máximo a $240 \text{ m}\mu$, correspondiente a las cetonas $\alpha\text{-}\beta$ - no saturadas.

En el nuevo homólogo de la progesterona (V) se determinó su espectro de absorción ultravioleta el cual mostró a $240 \text{ m}\mu$ un máximo característico de la conjugación existente entre la doble ligadura compartida por los átomos de carbono C-4 y C-5 y la cetona en C-3; en el espectro infrarrojo se registró la señal correspondiente a 1670 cm^{-1} debida al mismo cromóforo.

Los datos de resonancia magnética nuclear confirman, como los descritos anteriormente, la existencia del nuevo círculo formado entre los átomos de carbono C-16 y C-17 del esteroide; aparecen las señales de los hidrógenos del metile alílico en C-2' a -101, 102.5 y 103.6 c./s; también el máximo referente a el protón en C-1' a 334 c./s y en general todos los datos concuerdan con la estructura propuesta.

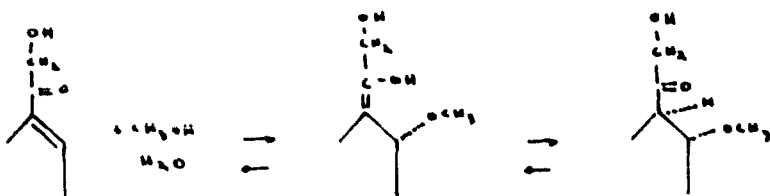
En el derivado metoxilado libre, 3 β , 21-dihidroxi-16 α -metoxi - pregn-5- en -20- ena (IX), obtenido amorfio, los datos de polaridad, espectros ultravioleta e infrarrojo y reacción clie-

raro de 2,3,5-trifentil tetrazolio para α -cetoles confirman su estructura.

Al preparar el diacetato correspondiente (X) se comprueba — por su espectro infrarrojo la desaparición de la doble ligadura en Δ^{18} por el desplazamiento bateocrómico de la banda de carbonilo, tampoco aparece ninguna banda de hidroxilo que supondría la adición de agua sobre esta doble ligadura; esta posibilidad — no podría descartarse por los antecedentes reportados por Marcker¹³.

En la resonancia magnética nuclear aparece una banda simple característica de grupos metoxilo a 189.8 c/s.

En las condiciones básicas en que se efectuó la reacción — existe la posibilidad de formación intermedia de la forma enólica; esta forma enólica se encuentra estabilizada por resonancia



y por adición 1,4 de metanol más probable por el lado α , origina el compuesto metoxilado (IX) con la configuración alfa del metoxilo en C-10, cuya formación es favorecida por estar menos impedido ese lado de la molécula. Esta adición 1,4 es parecida a —

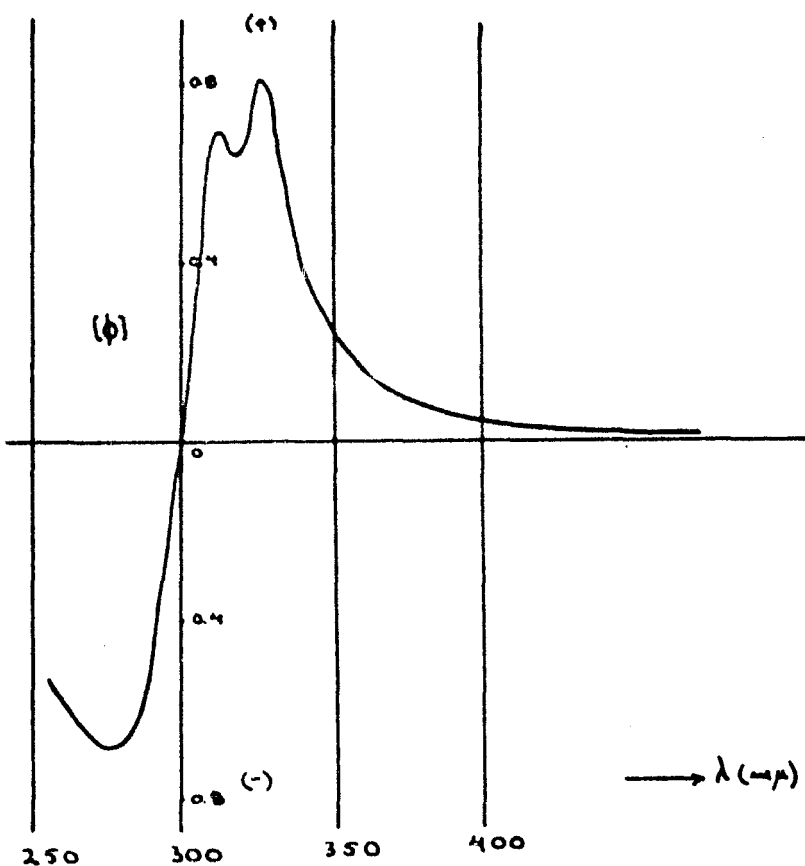
los que se efectúan sobre los átomos del carbene C-11, C-12 y --- C-17 en reacciones similares.

En el espectro infrarrojo del éter metílico de 15 β -metoxiestreosa (XIII) aparecen dos bandas importantes, una a 1735 cm^{-1} y otra a 1613 cm^{-1} , que corresponden a la cetona saturada en C-17 y al anillo aromático de la molécula, respectivamente; en el espectro ultravioleta aparecen dos máximos de absorción a $270\text{ m}\mu$ — que también nos indica la presencia del anillo aromático; no presenta ninguna banda de absorción a $240\text{ m}\mu$ lo cual indica la desaparición de la doble ligadura y la posible inserción de un sustituyente.

En la resonancia magnética nuclear aparece una señal a 67 — c/s que precede de los protones en C-18; también aparece una señal a 196,3 c/s que se debe a los hidrogenes del grupo metoxilo en C-18; el agrupamiento metoxilo aromático en C-3 aparece a --- 224,3 c/s, frecuencia mayor por la influencia del cono protector del anillo aromático. La señal que aparece a 242 c/s previene del protón en C-18 que se hace visible por la influencia del metoxilo. Los protones aromáticos aparecen a 398, 426 y 436 c/s, como es correspondiente.

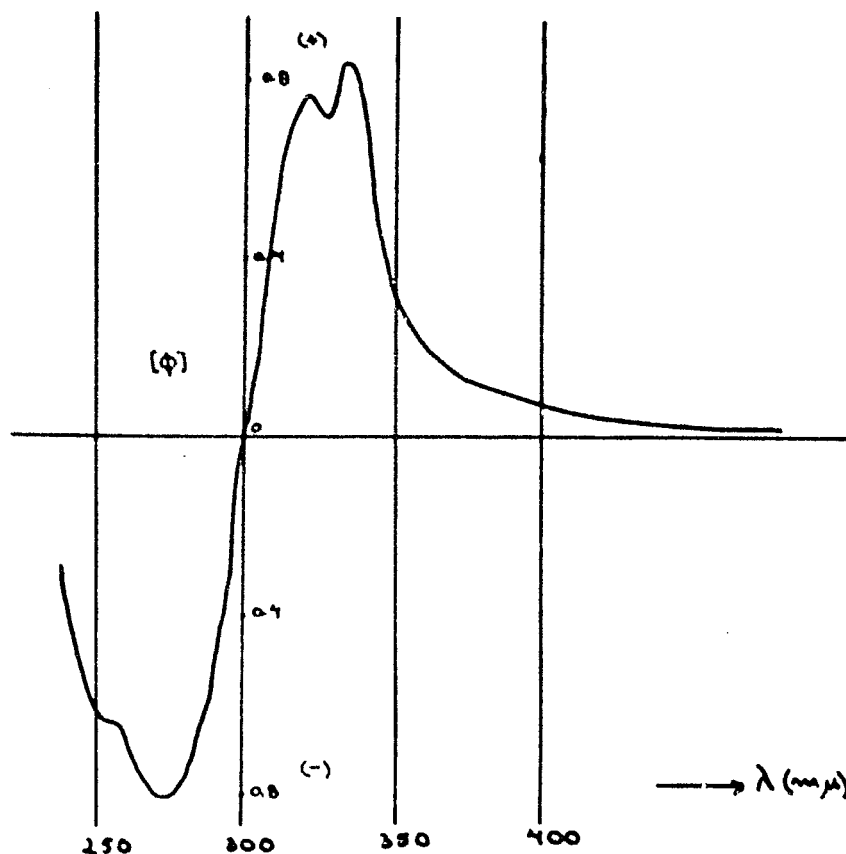
En el éter metílico de 15,16 β -oxido - 14 β - estreosa (XV) aparecen en el espectro infrarrojo bandas a 1740 y 1610 cm^{-1} debidas al grupo cetónico de la molécula y al anillo aromático respectivamente; este anillo aromático produce en el espectro ultravioleta dos picos de absorción a 278 y $287\text{ m}\mu$.

Se confirmó la introducción de un átomo de oxígeno por medio de resonancia magnética nuclear en la cual aparecieron dos dobletes a 208.9, 209.3 y 227, 229.8 c/s debidos a los protones en los átomos de carbene vecinos, donde se inserta el oxígeno epoxidico; de esta observación se deduce que el epoxido se formó entre los átomos de carbene C-14 y C-15. La posibilidad de epoxidación entre C-14 y C-15 quedó así excluida.



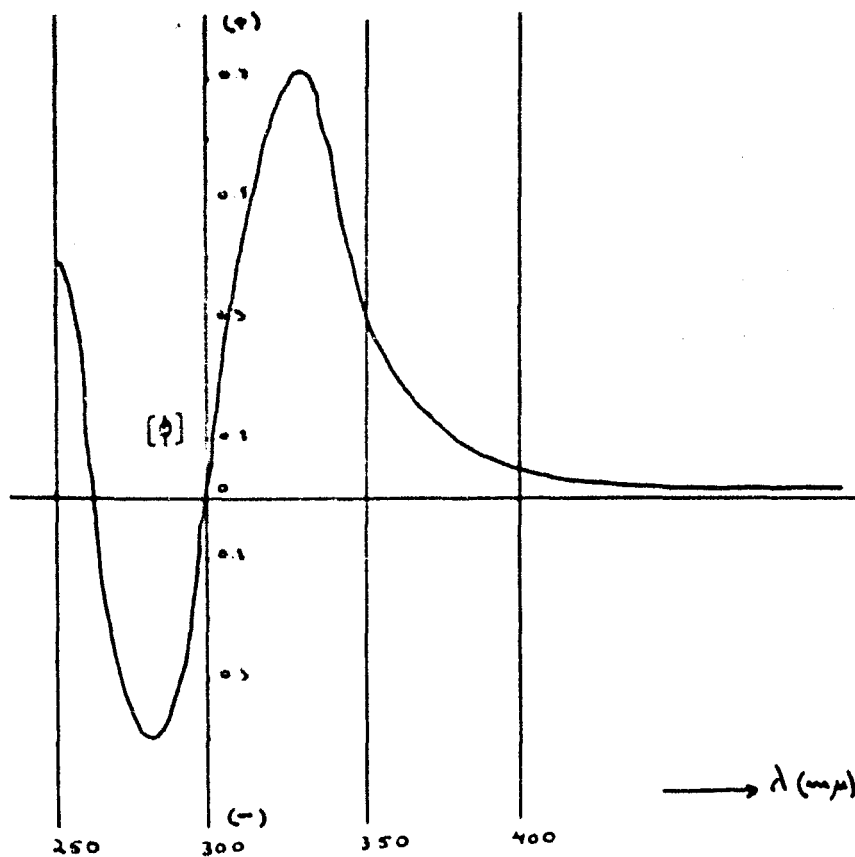
(FIG. 1).

Curva de dispersión rotatoria del acetato de 3 β - hidroxi
-16 α , 17 α -(2 $'$, 1 $'$ - propeno)- pregn -5- en -20- ena.



(FIG. 2).

Curva de dispersión rotatoria de la 3β -hidroxi- 16α ,
 17α - $-(2',1'$ -propeno)- pregn-5-en.



(FIG. 3).

Curva de dispersión rotatoria del éster metílico de 1S-metoxi - estrena.

Los datos que sobre dispersión rotatoria se obtuvieron para el acetato de 3^β - hidroxi -16^α,17^α-(2[°],1[°] - propeno)- pregn-3- en -20- ena (II) nos proporcionaron, al ser tabulados, una curva (Fig. 1) con efecto de Cotton positive con amplitud n= 350° y extremos $[\delta]_{326} +17,688.5^\circ$, $[\delta]_{277} -18,961.1^\circ$. De este se deduce que el nuevo sustituyente entró por atrás de la molécula (α) y que la cadena de acetilo en C-17 tiene la configuración β normal, pues se conoce que cuando el centro asimétrico en el átomo de carbono C-17, vecino del cromóforo carbonílico en C-20, tiene esa configuración (β) se produce siempre un efecto de Cotton positive; y negative cuando tiene la configuración opuesta.

Para decidir sobre la posición en que se encuentra el metile vinílico en el compuesto II, resultado de la formación del nuevo ciclo, es necesario considerar conjuntamente los datos que sobre el producto se obtuvieron, la forma de reaccionar posible de las moléculas y los efectos causados por la excitación a $\rightarrow \pi^*$ del cromóforo.

MECANISMOS DE REACCION.

Son concebibles dos rutas mecanísticas de reacción, fenica y por radicales libres y de cada una resultan dos posibilidades de inserción para el propeno.

En un posible mecanismo fenico se consideraría la polarización del propeno y un ataque del átomo de carbono C-1[°] al átomo de carbono C-10 deficiente en electrones en la molécula esteroido no excitada, seguidos de un racimoide y ciclación mediante un en-

lace que va del átomo de carbene C-17 al C-3'. Tomando en cuenta este mecanismo quedaría el metile vinílico C-3' unido por medio del átomo de carbene C-2' al átomo de carbene C-17, lo cual se está completamente de acuerdo con los resultados y con las consideraciones de Hückel¹⁵, quien postula una inversión en la polaridad de las moléculas al ser expuestas a la luz ultravioleta de longitud de onda corta; con esto cambia la forma de entrada del propeno, atacando primariamente sobre el átomo de carbono alfa al grupo cetónico (C-17) que se ha convertido en el centro deficiente en electrones. Queda en esta forma el metile unido al átomo de carbene C-2' que forma enlace con el C-16 del esteroide.

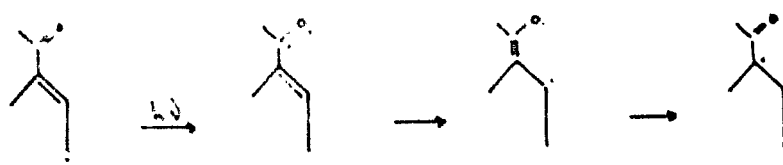
Mecanismo (1)



Mecanismo (2)



Si se piensa en un mecanismo por radicales libres teniendo -- en cuenta las consideraciones anteriores y además las referentes a estabilidad de fenes terciarios y secundarios, formados en el seno de la solución, así como su orden de reactividad, se llega también a la conclusión de que la forma de entrada del propeno es tal que da la mayor probabilidad para la formación del $16\alpha,17\alpha - 2',1'$ - propene - estereoidé y menor probabilidad para el $16\alpha,17\alpha - 1',2'$ - propene - estereoidé.



Mecanismo (3)



Mecanismo (4)



Aunque no de una manera inequívoca, estas consideraciones — anteriores expuestas encuentran apoyo muy significativo en los resultados prácticos obtenidos al interpretar el espectro de resonancia magnética nuclear, en el cual el máximo observado corresponde al protón vinílico del nuevo ciclo apareció a 334 c/s valor que resulta muy alto para una señal vinílica normal, a menos que se encontrara bajo el caso de influencia de algún elemento muy — electro negativo; en ese caso, sólo encontrándose el protón vinílico en el átomo de carbono unido en C-17, puede estar sujeto a esa influencia del oxígeno (desplazamiento para-magnético) en el átomo de carbono C-20 y presentar la señal antes dicha; en el — caso contrario si suponemos que el hidrógeno está en el átomo de carbono unido en C-18, no se obtendría un valor tan alto de la — frecuencia de resonancia magnética de ese protón, apareciendo — a campo más alto.

PARTES EXPERIMENTAL

Las constantes físicas de los productos sintetizados fueron determinadas en:

- a) Departamento Analítico de los Laboratorios Syntex en México D.F.
- b) Departamento Analítico de los Laboratorios Syntex en Palo Alto, California, E.E.U.U.
- c) Midwest Microlab, Inc. en Indiana, Indianapolis.
- d) Mikroanalytischer Lab. Dr. A. Bernhardt en HÜhenweg 17,- WÜlheim/Ruhr Alemania.

Espectros Infrarrojos.- Se determinaron en pastilla de bromuro de potasio anhidro en un aparato Perkin-Elmer, modelo 21, con prisma de cloruro de sodio y a 20°.

Espectros Ultravioleta.- Se determinaron en un espectrofotómetro Beckman D.U. con etanol al 95% como disolvente y a 20°.

Relaciones ópticas.- Se determinaron en un espectropolarímetro foteléctrico de Rudolph, usando cloroformo como disolvente -- (2 - 5 mg. de esterolíde por 2 ml. de solvente) y a 20°.

Microanálisis.- Fueron efectuados en los laboratorios c) y d) en las citadas, las muestras fueron secadas durante 2 a 3 días y a 60° - 90°, según el caso.

Espectros de Resonancia Magnética Nuclear.- Fueron efectuados en los laboratorios Syntex en Palo Alto. Las unidades en que se encuentran reportados estos datos son ciclos por segundo.

Dispersión Rotatoria.- Se determinó en un aparato modelo ORD/UV-5

de la casa "Toshiba International Inc., U.S.A." Tokio Japon, en elg
ano 1960.

Pueden ser observados los conglomerados en tales capilares y en un --
espacio denso. Tales los puntos de fusión están reportados en
ellos congelados a sus temperaturas.

El conglomerado espeso de las irradiaciones era abierto
y espeso (no grueso ni espesado) y de calidad espec-
ialmente.

Tanto los conglomerados como cristalizaciones fueron redes-
tadas.

Los "conglomerados gruesos" se obtiene una solución 0.1% de --
unidares unidas en agua destilada diluida, (ref. 10).

Se utilizó una muestra de los conglomerados en placas prepara-
das fluorescentes para adición de la materia fluorescente),

La muestra de la muestra de unión de Kondo 4-H1 empleada en
la irradiación, muestra tanto la rigidez altamente.

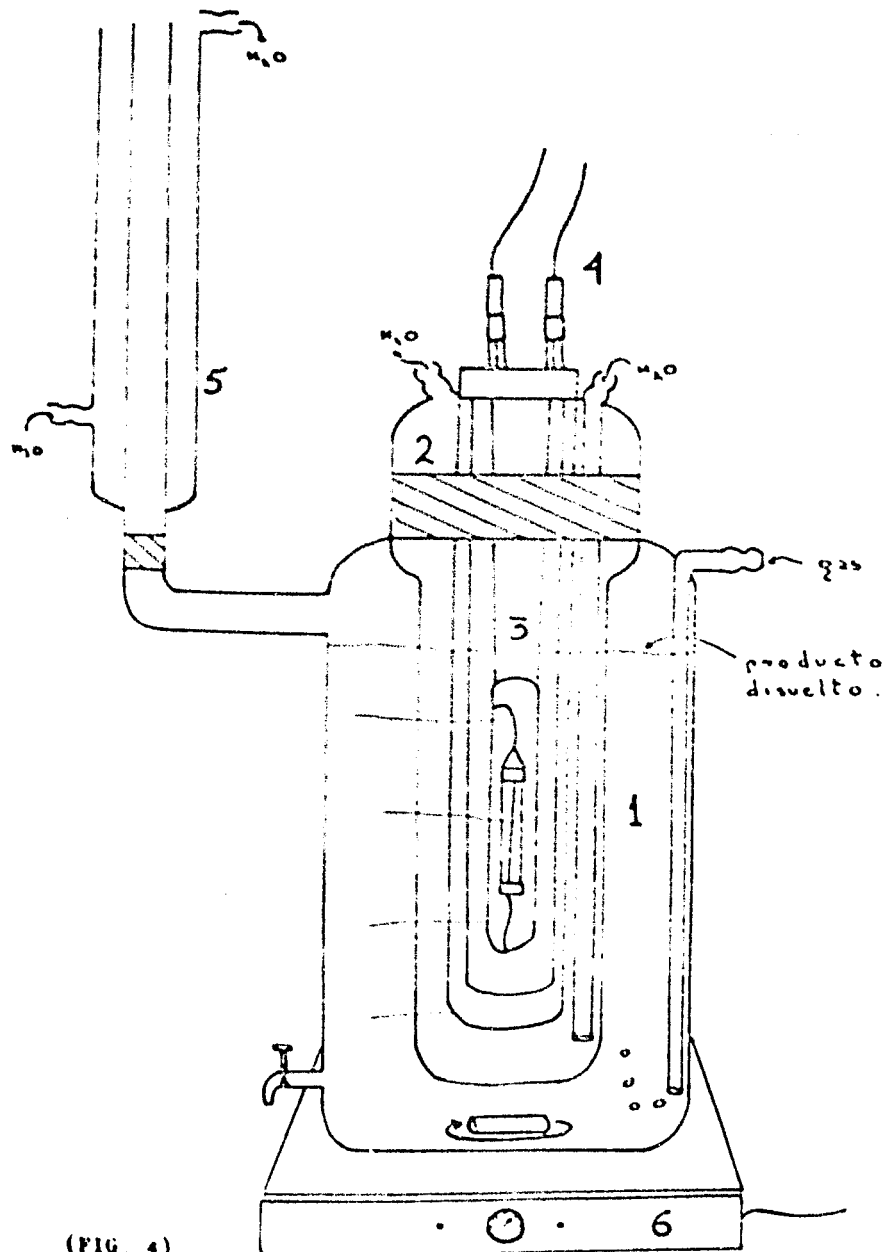
LISTA DE MATERIAS PRIMAS Y PRODUCTOS UTILIZADOS EN LAS REACCIONES.

- I.- Acetato de pregnan- α , β -dien- γ -ol-20-eno.
- II.- Acetato de β -hidroxi- α , β -(α' , β' -propeno)-pregna- δ -eno-20-eno.
- III.- β -Hidroxi- α , β -(α' , β' -propeno)-pregna- δ -eno-20-eno.
- IV.- α , β -(α' , β' -Propeno)-pregna- δ -eno-3,20-dieno.
- V.- α , β -(α' , β' -Propeno)-progesterona.
- VI.- Diacetato de pregnan- δ , α , β -triene- γ , β -diol.
- VII.- β -Hidroxi- α -yodo-pregn- δ , β -dien-eno.
- VIII.- Diacetato de β , α -dihidroxi-pregn- δ , β -dien-20-eno.
- IX.- β , α -Dihidroxi- α -metoxi-pregn- δ -eno-20-eno.
- X.- β , α -Diacetato de α -metoxi-pregn- δ -eno-20-eno.
- XI.- Acetato de 21-hidroxi- α -metoxi-pregn- δ -eno-20-eno.
- XII.- Ester metílico de 15-dehidroestrona.
- XIII.- Ester metílico de 15 β -metoxi-estrona.
- XIV.- Ester metílico de 15-dehidro- β -estrona.
- XV.- Ester metílico de 15,15 β -oxido- β -estrona.

OBTENCIÓN FOTOQUÍMICA DEL ACETATO DE 3 β - HIDROXI - 14 α ,17 α ---
(2'-ALI - PHORFINO) - FENOX - 3 - EN - 20 - OSA (II)

En un aparato como el descrito posteriormente (Fig. 4), fueron puestos 20 g. de acetato de pregnen-3 β -ol-17 α -osa (I) disueltos en 300 ml. de tetrabhidrofurano anhidro y exento de peróxidos. Se pasó una corriente de propeno por la solución mantenida a temperatura ambiente durante 2 hrs.; simultáneamente a la saturación de la solución se irradió esta con una lámpara de mercurio Hanam Q-51 protegida con una camisa de refrigeración con agua corriente. Durante las 2 hrs., que se irradió la solución se agitó por medio de una barra magnética y se cubrió el aparato con papel de aluminio como protección para el experimentador. El estudio de una muestra por cromatografía en capa delgada y por espectrometría ultravioleta mostró que se había formado 63% del material deseado (II) y quedaba 20% de material no transformado, además de subproductos provenientes de otras reacciones fotoquímicas.

El producto principal fue separado por cromatografía en columna de sílice (1 g. de esteroides: 25 g. de sílice). Por elución con una mezcla 9:1, de hexano-acetato de etilo cristalizaron 12.2 g. del compuesto II con p.f. 141°-143°. Se recromatografiaron en columna de sílice (1 g. de esteroides: 30 g. de sílice), obteniéndose el producto puro con punto de fusión 148°-150°. Este fue recristalizado de hexano y determinada su estructura por las si-



(FIG. 4).

1.- Reactor de cuarzo; 2.- Sistema de refrigeración para la lámpara; 3.- Lámpara de mercurio; 4.- Electrodes; 5.- Refrigerante; y 6.- Placa magnética.

guientes constantes p.f. 149°-151°; $[\alpha]_D +90^\circ$; D.R.: $[\Phi]_{600}$
 $+423.7^\circ$, $[\Phi]_{580} +444.7^\circ$, $[\Phi]_{450} +1376.9^\circ$, $[\Phi]_{370} +3877^\circ$, $[\Phi]_{326}$
 $+17,604.3^\circ$, $[\Phi]_{321} +15,719.5^\circ$, $[\Phi]_{317} +16,503.1^\circ$, $[\Phi]_{308} +6,249.7^\circ$,
 $[\Phi]_{302} 0^\circ$, $[\Phi]_{298} -7,732.6^\circ$, $[\Phi]_{277} -18,961.1^\circ$, $[\Phi]_{243} -13,876.6^\circ$,
 $[\Phi]_{237} -13,876.6^\circ$, $[\Phi]_{268} -16,324.7^\circ$, $[\Phi]_{250} -12,923.1^\circ$, $[\Phi]_{236}$
 $-12,711.4^\circ$, $[\Phi]_{222} 0^\circ$, $[\Phi]_{214} +13,740.4^\circ$; $\lambda_{\text{max.}} 290-292 \text{ m}\mu$
(log ε 2.22); δ_{max.} 1740, 1785 cm⁻¹; n.m.r.: 41.5(18-H), 61.3
(19-H), 120.5(3β -H), 120(21-H), ~ 193(16β -H), 260, 306(3α -H),
~ 325(H en C-6), ~ 354(H en C-1) c.p.s.

Análisis: Calculado para C₂₆H₃₆O₃: C, 78.74; H, 9.13; O, 12.11. Encuen-
trados: C, 78.99; H, 9.09; O, 11.86.

OBTENCIÓN DE 3β - HIDROXI -16α,17α-(2¹,1¹ - PROPENO)- PREGN -
-5- ENO -20- ONA (III)

Se disuelven 2.16 g. de acetato de 3β - hidroxi -16α,17α -
(2¹,1¹ - propeno)- prega -5- en -20- ena (II) en 5 ml. de tetra-
hidrofurano y son tratados con 500 ml. de una solución metanólica
de hidróxido de potasio al 3%. Se calienta a reflujo durante 30 -
minutos, tiempo suficiente para esta hidrolisis, se neutraliza ---
con ácido clorhídrico acuoso y se vierte la mezcla de reacción ---
sobre 500 ml. de agua. El aislamiento del producto se hace por ---
extracción con cloruro de metileno, se lava, se seca, se evapora ---
el exceso de solvente y se cristaliza de metanol. Se obtienen ---
1.23 g. del alcohol esteroide (III) con un p.f. 160°-162° y $[\alpha]_D$
 $+173^\circ$.

El producto recristalizado de metanol suministró los siguientes datos analíticos: p.e.f. 164°-166°; $[\alpha]_D +154^\circ$; D.R.: $[\Phi]_{600} +642.1^\circ$, $[\Phi]_{589} +642.1^\circ$, $[\Phi]_{450} +1,483.2^\circ$, $[\Phi]_{350} +6,253.8^\circ$, $[\Phi]_{320} +18,329.2^\circ$, $[\Phi]_{321} +16,303.3^\circ$, $[\Phi]_{316} +12,316.4^\circ$, $[\Phi]_{306} +6,421.2^\circ$, $[\Phi]_{301} 0^\circ$, $[\Phi]_{296} -85.0^\circ$, $[\Phi]_{290} -14,942.1^\circ$, $[\Phi]_{278} -18,299.8^\circ$, $[\Phi]_{246} -13,332.6^\circ$, $[\Phi]_{241} -13,662.6^\circ$, $[\Phi]_{231} -9,499.8^\circ$, $[\Phi]_{242} -12,916.8^\circ$, $[\Phi]_{228} -13,901.3^\circ$, $[\Phi]_{234} -12,269.2^\circ$, $[\Phi]_{218} 0^\circ$, $[\Phi]_{212} +1,203.3^\circ$, $[\Phi]_{210} 0^\circ$; $\lambda_{\text{max.}} 294 \mu \text{ (log } \varepsilon 2.23) ; \lambda_{\text{max.}}$ 3400, 1783 cm^{-1} ; n.m.r.: 41.5 (1H-H), 60 (1H-H), \sim 103 (metilo alílico), 129 (2H-H), 192 (-OH), \sim 320, \sim 334 (H en C=O) c.p.s.

Análisis: Calculado para $C_{24}H_{34}O_2$: C, 81.31; H, 9.67; O, 9.02. Encuentro: C, 81.43; H, 9.76; O, 8.84.

OBTENCIÓN DE 16 α -17 α -(2',1' -propeno)-PREGN-5-ENO-3,20-DIONA (IV)

A 1 g. de 3 β - hidrox-16 α ,17 α -(2',1' -propeno)-pregna-5-en-20-ona (III) disuelto en 250 ml. de acetona anhidra (destilada sobre permanganato de potasio), y enfriada la solución de 0° a 3° se agita magnéticamente y en estas condiciones se le adicionan gota a gota 0.7 ml. de reactivo de Jones, la operación total dura de 5 a 7 min. interrumpiéndose la reacción por adición de hielo.

El producto se extrae con cloruro de metileno, se lava, se seca, se evapora el exceso de solvente y se separa por cromatografía preparativa en placas de sílice. Las bandas de este producto son de una polaridad intermedia entre la materia prima y su correspondiente cetona conjugada (V), la cual se va formando en el transcurso de la manipulación. Finalmente se obtiene 700 mg. de cristales que se

tienen ultravioleta en la región de 240 m μ .

Por recristalización con metanol se obtiene el compuesto -- p.p.t. 142°-144°; $[\alpha]_D^{20} +200^\circ$; $\lambda_{max.}$ 1720, 1787 cm $^{-1}$; ---- s.m.r.: 43.2(1H-H), 71(1H-H), 103 (metilo alílico), 130(2H-H), -- ~ 323(E en C-6) c. s.

Análisis: Calculado para C₁₄H₂₂O₂: C, 81.77; H, 9.18; O, 9.08. Encuentro: C, 80.94; H, 9.02; O, 9.23.

OBTENCION DE LA 16- α ,17- α -(2',1' - PROPIENO)- PREGESTERONA (XV).

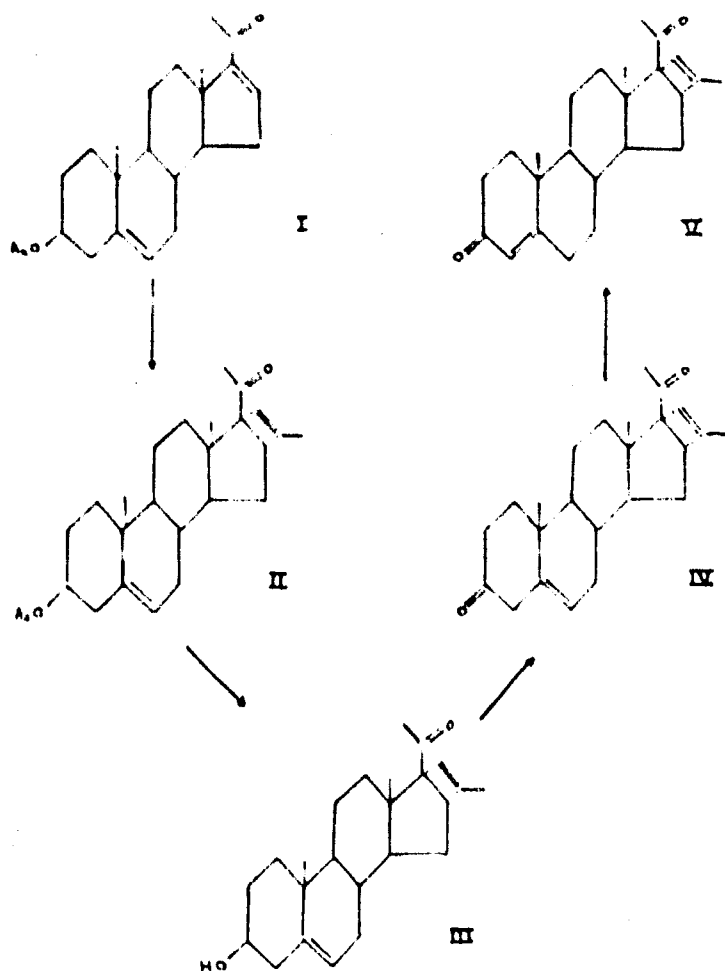
Dissueltes 230 mg. de 10 α ,17 α -(2',1' - propeno)- prega- -S- uno -3,20- dieno (XIV) en 2 ml. de tetrahidrofurano anhidro se tratan con 50 ml. de una solución metanólica de hidróxido de potasio al 1%. Se agita la reacción por medio de una barra magnética y se pasa una corriente de nitrógeno durante 30 min., tiempo después del cual el producto se ha conjugado. La reacción se vierte en agua y se extrae con cloruro de metileno, se seca, se evapora el solvente y se cromatografía en placas preparativas -- fluorescentes de alílico. Se revelan con luz ultra-violeta para separar la fracción correspondiente a la ciclobutano-pregesterona (XV) que suministró 200 mg. de producto homogéneo.

Por cristalización con metanol se obtienen 66.3 mg. de ---- cristales blancos en forma de agujas con las siguientes cestas- tes: p.p.t. 173°-176°; $[\alpha]_D^{20} +324^\circ$; $\lambda_{max.}$ 240 m μ ($\log E \quad 4.12$); -- $\lambda_{max.}$ 1670 cm $^{-1}$; s.m.r.: 43.6(1H-H), ~ 71.0(1H-H), 101.0, --

102.5, 104.6 (methyl vinylcyclopropane), 129.7(21-H), ~ 195(16^β-H), ~ 343(H on C-4); ~ 354 [-HC=C(CH₃)-] c/s.

Analisis: Calculado para C₂₄H₃₂O₂: C, 81.77; H, 9.15; O, 9.08. Encuentro: C, 81.92; H, 9.33.

SÍNTESIS DE LA 16 α ,17 α -(2 $'$,1 $'$ - PROPENO)- PROGESTERONA.



OBTENCION DEL DIACETATO DE PREGNA -5,16,20- TRIENO -3 β ,20-

DIOL (II).*

Se disuelven 64 g. de acetato de pregnan -5,16- dien -3 β - el -20- ena (I) en 800 ml. de acetato de isopropenilo y se le adicionan 8 g. de ac. p-toluenosulfónico monohidratado. Se destila en una columna de rectificación lentamente durante 24 hrs.

El residuo líquido se alcaliniza con una solución saturada de bicarbonato de sodio, se extrae con cloruro de metileno, se lava, se seca y se evapora a sequedad.

El sólido amarillo de color café pesa 62 g. y presenta un ---- p.f. 145°-148°.

OBTENCION DE LA 3 β - HIDROXI -21- YODO - PREGNA -5,16- DIEN -20-

ONA (III).*

A 62 g. del diacetato de pregnan -5,16,20- trien-3 β ,20- diol (II) disueltos en 30 ml. de dioxano se les trató con 18 g. de N-yodosuccinimida calentando de 80° a 85° en atmósfera de nitrógeno durante 15 minutos. Se suspendió la reacción por adición de 100 ml. de metanol y un gran exceso de yedura de potasio en solución acuosa. Para decelerar el producto se agregó tioculfato de sodio, se filtraron y secaron los cristales, pesaron 58 g. y presentaron un p.f. 135°-140°. Se recristalizaron de metanol y el producto así purificado presentó un p.f. 142°-143°.

OBTENCION DEL DIACETATO DE 3 β ,21-DIHIDROXI-PREGN-5,16-DIEN-20-ONA (IV).

Una mezcla de 30 ml. de ac. acético con 100 g. de acetato de potasio se calentó a reflujo, con 37 g. de 3 β -hidroxi-21-yodo-pregna-5,16-dien-20-ona (III) disuelta en 300 ml. de acetona, durante 18 horas.

Terminada la reacción se vertió sobre un gran volumen de agua. El producto filtrado fue recristalizado de metanol, obteniéndose 50 g. de material cristalino con p.f. 151°-153°.

OBTENCION DE 3 β ,21-DIHIDROXI-16 α -METOXI-PREGN-5-EN-20-ONA (IX).

Se hidrolizaron 40 g. del diacetato de 3 β ,21-dihidroxi-pregna-5,16-dien-20-ona (VIII) con una solución metanólica de hidróxido de potasio al 1%, dejando la mezcla de reacción a 10° durante 20 hrs. Se extrajo con cloruro de metilo, se secó y evaporó el solvente quedando un residuo amorfio de color café, el cual daba prueba positiva de α -cetoles con cloruro de 2,3,5-trifenil tetrazolio y no presentaba absorción específica en el ultravioleta.

* C. Djerassi and C. E. Lenk. J. Am. Chem. Soc., 76, 1722 (1954).

OBTENCION DE 3 β ,21-DIACETATO DE 16 α -METOXI - PREGN -5- EN -20- ONA (VI)

Se disuelven 2 g. de 3 β ,21-dihidroxí -16 α -metoxi - pregn -5- en -20- ona (V) en 40 ml. de piridina y se adicionan 30 ml. de eshídrido acético. Se deja 12 hrs. a temperatura ambiente, después se vierte la solución en agua y se extrae con cloruro de metileno; se lava, se seca, se evapora el solvente y se cromatografía el residuo en columna de sílice, se obtiene producto cristalino en las fracciones eluidas con cloroformo, que en conjunto pesan 1.8 g.

El producto se recristaliza de metanol y se obtienen agujas blancas con las siguientes constantes: p.f. 138°-139°; $[\alpha]_D^{25}$ -34.5°; ν_{max} , 1740, 1720 cm^{-1} ; n.m.r.: 40.7(18-H), 60.3(19-H), 119.8(3 β -OAc), 127.8(21-OAc), 189.8(-OCH₃), 250, 285(16 β H+3 α H), ~ 322(H en C=O).

Analisis: Calculado para C₂₀H₃₈O₆: C, 69.93; H, 8.58; O, 21.49. -- Encontrado: C, 70.33; H, 8.70; O, 21.04.

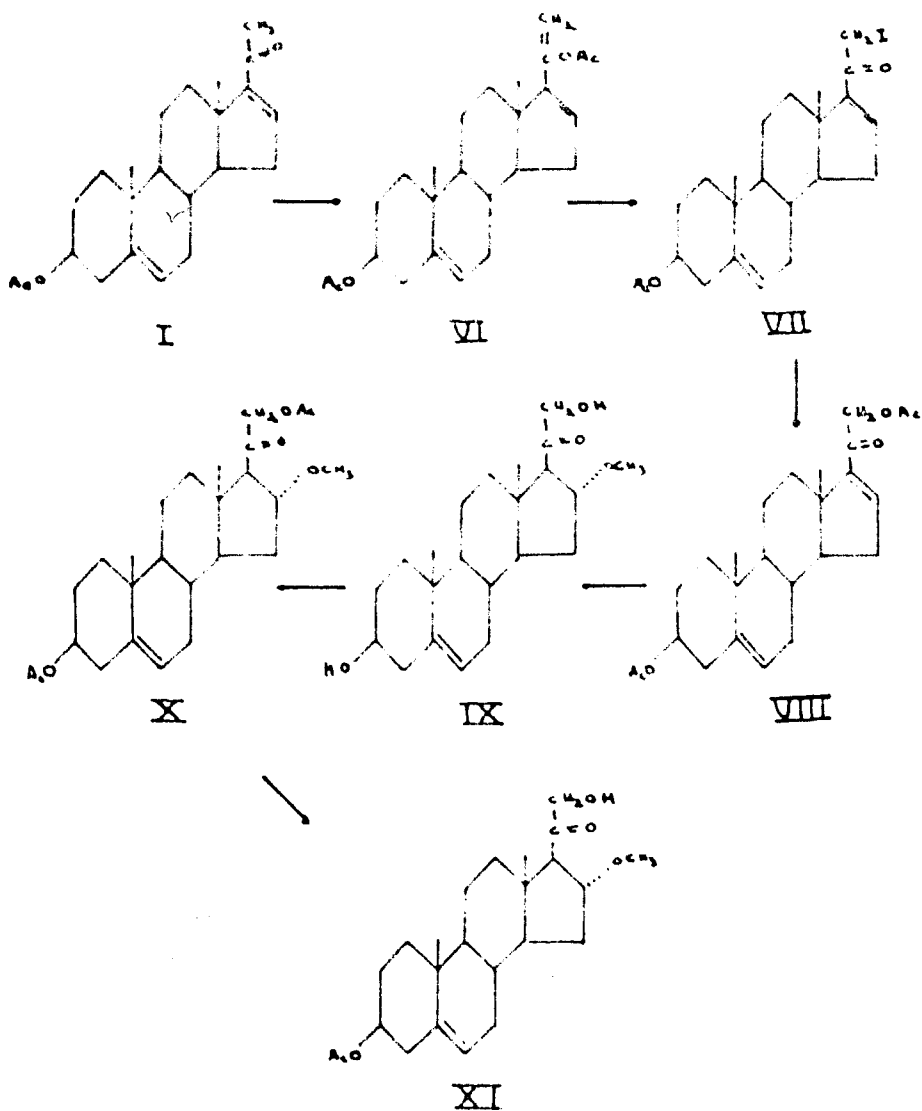
OBTENCION DEL ACETATO DE 21- HIDROXI -16 α - METOXI - PREGN -5- EN -20- ONA (XI)

Se disolvieren 4.0 g. de 3 β , 21-diacetato de 16 α -metoxi pregn -5- en -20- ona (X) en 3 ml. de tetrahidrofurano y 100 ml. de metanol; se trataron con 500 ml. de una solución de bicarbonato de sodio saturada hasta formar una solución visible. La hidrólisis parcial se efectuó a temperatura ambiente durante 12 hrs.,

después se extrajo la parte etérica con cloruro de metileno, se la volvió a secar, se evaporó el solvente y se cromatografió en gel de silice. El producto puro obtenido (XI) pesa 1.2 g., pero el rendimiento de la reacción en realidad representa un 50% considerando las mezclas del mismo con el diacetato (X) y el diol (IX) que también están presentes.

Se recristalizó de metanol obteniendo una muestra analítica del acetato de 21-hidroxí- α -metoxi-pregn-5-en-20-ona (XI) cuyas constantes fueron: p.f. 160°-161°; $[\alpha]_D^{20} -42^\circ$; ν_{max} . --- 3420, 1735, 1705, 1240 cm^{-1} ; m.m.r.: 40.5(18-H), 60.9(19-H), ---- 120.5(-OAc), 191.5(16-OCH₃), ~ 197(10-H), 254.5(21-CH₂-), ---- ~ 243, 283(3 α -OH), ~ 318, 327(H en C-6).
Análisis Calculado para C₂₄H₃₆O₅: C, 71.25; H, 8.07; O, 19.88. Encuentro: C, 70.08; H, 8.85; O, 19.90.

SINTESIS DEL DIACETATO DE 3 β , 21-DIHIDROXI-PREGNA-5,10,18-DIEN-
-20-ONA (VIII) Y ADICION NUCLEOFILICA DE METANOL.



OBTENCION DEL ETER METILICO DE 15^S - METOXI - ESTRONA (XIII).

A una solución de 100 mg. del éter metílico de 15- deshidroestrona (XII) en 1 ml. de tetrahidrofurano, le fueron adicionados 50 ml. de una solución metanólica al 3% de hidróxido de potasio y luego se calentó a reflujo durante 30 minutos. Se neutralizó y se concentró a la mitad de su volumen, fue vertida sobre agua y se extrajo el producto con cloruro de metileno. Se cromatógrafió el residuo en columna de gel de sílice. El compuesto fue eluido con hexano-acetato de etilo 4:1 y se cristalizó de metanol obteniéndose 75 mg. de 15^S - metoxi - estrona (XIII) con las siguientes propiedades: p.f. 125°-126°; $[\alpha]_D^{20} +92^\circ$; D.R.: $[\phi]_{600} +476^\circ$, $[\phi]_{350} +2474^\circ$, $[\phi]_{321} +6613^\circ$, $[\phi]_{297} 0^\circ$, $[\phi]_{275} -3425^\circ$, $[\phi]_{250} 0^\circ$, $[\phi]_{237} +3045^\circ$, $[\phi]_{200} -2974^\circ$, $[\phi]_{277} -1903^\circ$, $[\phi]_{248} 0^\circ$, $[\phi]_{232} +4520^\circ$, $[\phi]_{230} 0^\circ$, $[\phi]_{223} -3093^\circ$; $\lambda_{\text{max.}} 279$, 288 μ ($\log \epsilon$ 3.33, 3.31); $\nu_{\text{max.}}$ 1735, 1613 cm^{-1} ; s.m.r.: 67(18-H), 196.5(15- metóxilo), 224.3(3-metóxilo) ~ 242(15-H), 308(H en C=2), 428, 436(H en C=1). Análisis: Calculado para $C_{20}H_{30}O_3$: C, 76.40; H, 8.34; O, 15.27 Encuentro: C, 76.57; H, 8.10; O, 15.43.

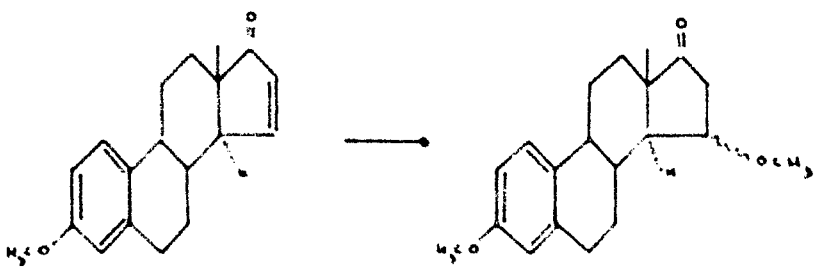
OBTENCION DEL ETER METILICO DE 15, 16^S - OXIDO -14 β - ESTRONA -- (XV).

A una solución de 880 mg. del éter metílico de 15- deshidro-14 β - estrona (XIV), en 10 ml. de tetrahidrofurano se le adicionaron 50 ml. de una solución metanólica de hidróxido de potasio -

al 3% y fue puesta a reflugo durante 30 minutos. Subsecuentemente se neutralizó y vertió en agua, se extrajo con cloruro de metálico y se cromatografió en placa preparativa de gel de ámbar. Así se obtuvieron 200 mg. de material que se reaccionó y 286 mg. de un compuesto con p.f. 100°-101°; $[\alpha]_D^{20} +478^\circ$ y λ_{max} , 220 m.μ. El producto fue cristalizado de metanol y pesó 203 mg. Este material corresponde al éster metílico de 18, 18 β - oxido - estrano (XI) con p.f. 110°-111°; $[\alpha]_D^{20} +311^\circ$; λ_{max} , 278, 287 m.μ ($\log \epsilon$ 3.34, 3.32), ν_{max} , 1740, 1610 cm^{-1} ; n.m.r.: 98 (1H=H), 206.9, 209.3, 227, 229.5 (H en C-2), 420.6, 428.8 (H en C-1) c.p.s.

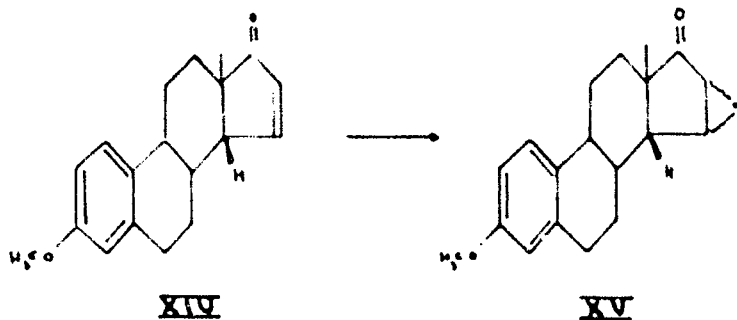
Análisis: Calculado para $C_{19}H_{22}O_3$: C, 76.48; H, 7.43; O, 16.09; -- CH_3O , 10.4. Encuentrados: C, 77.09; H, 7.49; O, 15.59; CH_3O , 10.3.

ADICIONES NUCLEOFILICAS A Δ^{18} - ESTRAN - 17 - ONAS.



XII

XIII



XIV

XV

CONCLUSIONES.

PRIMERA.- Por ciclendición fotoquímica de hidrocarburos acetilénicos a cetenos α , β - no saturadas se obtienen fotoproductos ciclebuténicos. Así, la adición de propene al acetato de 3β - hidroxi - pregn-5,16-dien-20- ena por irradiación ultravioleta forma el acetato de 3β - hidroxi- $16\alpha,17\alpha-(2',1'-propeno)-$ pregn-5- en-20- ena.

SEGUNDA.- A partir del acetato de 3β - hidroxi- $16\alpha,17\alpha-(2',1'-propeno)-$ pregn-5- en-20- ena se obtuvo mediante hidrólisis, oxidación e isomerización, un nuevo homólogos de la progesterna, la $16\alpha,17\alpha-(2',1'-propeno)-$ progesterona. Este compuesto presenta en su estructura un anillo ciclebuténico entre los átomos de carbono 16 y 17 y, además tiene la cetona en C-20 en relación de homosconjugación con la doble ligadura en β , γ .

TERCERA.- Esas características estructurales confieren a los compuestos sintetizados el carácter de derivados pregnánicos, o bien análogos hermanados de un nuevo tipo, difícilmente obtenibles por métodos no fotoquímicos. La investigación de sus propiedades biológicas, constituye el objetivo de estudios farmacológicos paralelos.

CUARTA.- Por adición nucleofílica de metanol al sistema α , β , - no saturado del diacetato de $3\beta,21$ - dihidroxi - pregn-5,10-dien-20- ena se obtiene la $3\beta,21$ - dihidroxi- 16α - metoxi - pregn-5- en-20- ena.

QUINTA.- Se efectuó la adición nucleofílica de metanol sobre el sistema conjugado de Δ^{15} - estren -17- enas. Se comprobó la estructura de los productos, pero no su configuración estereoesquímica.

BIBLIOGRAFIA.

- 1.- Plassmann, P. S., Zderic, J. y Fried, J. H., Tetrahedron Letters, 3451 (1966).
- 2.- Eaton, P.E., Tetrahedron Letters, 7695 (1964).
- 3.- Eaton, P.E., J. Am. Chem. Soc. 84, 2344 y 2454 (1962).
- 4.- Meinwald, J. y Franckglass, E., J. Am. Chem. Soc. 82, 2087 (1960).
- 5.- Eaton, P.E. y Lin, K., J. Am. Chem. Soc. 86, 2087 (1964).
- 6.- Butenandt, A. y Deschmann, L., Ber. 73 893 (1940).
- 7.- Mustafa, A., Chem. Revs. 51, 1 (1952).
- 8.- Corey, E. J., Bass, J. D., Le Mahieu, R. y Mitra, R. B., - J. Am. Chem. Soc. 86, 5570 (1964).
- 9.- Buchi, G. y Burgess, E. M., J. Am. Chem. Soc. 82, 4333 ---- (1960).
- 10.- Calvert, Jack G. y Pritchett, James N. Jr., PHOTOCHEMISTRY - Ed. John Wiley y Sons, Inc., pag. 542 (1966).

- 11.- Yamada, Y. y Nakamichi, K., Chemical Communications, 13, - 423 (1966).
- 12.- Djeraux, C. y Lenk, T., J. Am. Chem. Soc. 76, 1722 (1953).
- 13.- Marker, R., J. Am. Chem. Soc. 71, 4149 (1949).
- 14.- Fukushima, D. K. y Gallagher, T. F., J. Am. Chem. Soc. 73, - 196 (1951).
- 15.- Djeraux, C., OPTICAL ROTATORY DISPERSION, McGraw-Hill Book Co., New York (1961).
- 16.- Heilbron, R., J. Chem. Phys. 39, 1397 (1963); 40, 2480 (1964).
- 17.- Zimmerman, H. B. y Swenton, J. S., J. Am. Chem. Soc. 86, --- 1436 (1964).
- 18.- Catton, F., SPECTROSCOPIC PROBLEMS IN ORGANIC CHEMISTRY, --- Vol. 1, Ed. Heyden & son Limited (1965).
- 19.- Bowden, E., Heilbron, L. M., Jones, E. R. H. y Weedon, B. C. A., J. Chem. Soc. 39 (1946).
- 20.- Bhacca, N. S. y Williams, D. H., APPLICATIONS OF NMR SPECTROSCOPY IN ORGANIC CHEMISTRY, Holden Day Inc., San Francisco (1964).